

14. Fauci A. S. Immunosuppressive and antiinflammatory effects of glucocorticoids.— In: Glucocorticoid hormonal action. Berlin etc. 1979, p. 449–465.  
 15. Grabtree G. R., Gillis S., Smith K. A., Munck A. Glucocorticoids and immune responses.— Arthritis and Rheum., 1979, 22, N 11, p. 1246–1256.  
 16. Mantzouranis E., Borel V. Different effects of cortisone on the humoral response to T-dependent and T-independent antigens.— Cell. Immunol., 1979, 43, N 1, p. 202–208.

Оренбург. мед. инт

Поступила 16.05.84

УДК 612.23:612.111:612.135

А. А. Ненашев, И. М. Тищенко, З. А. Шидов

## МЕХАНИЧЕСКАЯ РЕЗИСТЕНТНОСТЬ ЭРИТРОЦИТОВ И МАССОПЕРЕНОС КИСЛОРОДА ПРИ ГИПОКСИЧЕСКИХ СОСТОЯНИЯХ РАЗНОГО ГЕНЕЗА

Среди методов определения резистентности эритроцитов наибольшее распространение получил метод определения осмотической резистентности, изменяющейся при выведении эритрона из состояния равновесия [4]. Резистентность увеличивается при адаптации организма к гипоксическим состояниям различного генеза, что рассматривается как результат омоложения популяции эритроцитов [5]. Механическая резистентность, в отличие от осмотической, изучалась мало, хотя и представляет значительный интерес, поскольку эритроцит в процессе микроциркуляции испытывает значительные механические нагрузки, устойчивость к которым зависит от активности метаболических процессов [21, 28], определяющих форму клетки и жесткость ее мембраны [10].

Цель исследования состояла в определении механической резистентности эритроцитов и массопереноса кислорода у больных при наличии гипоксических состояний разного происхождения, а также до и после однократной физической нагрузки у лиц разной степени тренированности. Полученные данные использовали для математического моделирования массопереноса кислорода при различных состояниях эритрона.

### Методика

Механическую резистентность эритроцитов определяли по [14]. Данный метод требует минимальных количеств крови, время анализа ограничивается несколькими минутами. Пробу крови, после определения в ней числа эритроцитов, в количестве 0,02 мл помещают в ячейку, установленную на источнике вибрации (частота колебаний 250 Гц, уровень вибрации 40 дБ). Через 3 мин определяют число разрушенных клеток и по этой величине судят о механической резистентности эритроцитов.

Обследовано 185 человек — шесть групп. У всех обследованных первых четырех групп в возрасте 45–55 лет проводили сравнительную оценку механической резистентности эритроцитов в зависимости от состояния организма: I группа — 60 здоровых лиц; II — 25 больных хронической пневмонией с дыхательной недостаточностью I—II ст. в стадии ремиссии; III — 25 больных с хронической коронарной недостаточностью (стенокардия покоя и напряжения); IV — 25 больных бронхиальной астмой с дыхательной недостаточностью II—III ст. В состав V и VI групп входило по 25 студентов (возраст 20 лет). Одну группу составляли физически мало тренированные студенты медицинского факультета, другую — тренированные студенты спортфака. Резистентность эритроцитов определяли до и после физической нагрузки (работа на велотрекометре в течение 5 мин, мощность 100 Вт).

### Результаты и их обсуждение

Во всех группах больных механическая резистентность эритроцитов повышена по сравнению с группой здоровых (табл. 1). В пробах крови здоровых процент гемолизировавшихся эритроцитов составлял

$33,0 \pm 0,9$ . У больных с только  $17,0 \pm 1,2$ , исходно не отличалось от показателей пневмонией общего снижение статистически альной астмой общее сод здоровых ( $p < 0,001$ ), по  $13,0 \pm 1,1$ . Чем выше степень механическая резистентность омоложения популяции эритроцитов.

Таблица 1. Механическая

Исследуемые показатели	Здоровые 45–55 лет
Число наблюдений	60
Количество эритроцитов, $10^{12}/\text{л}$	$4,2 \pm 0,1$ $p < 0,001$
Число гемолизированных эритроцитов	$1,39 \pm 0,05$
Процент гемолиза	$33,0 \pm 0,9$

\* — достоверность различий

Таблица 2. Механическая физической нагрузки

Исследуемые показатели	до
Число наблюдений	4,0
Количество эритроцитов, $10^{12}/\text{л}$	$4,2 \pm 0,1$
Число гемолизированных эритроцитов	$1,39 \pm 0,05$
Процент гемолиза	$33,0 \pm 0,9$

\* — достоверность различий

У мало тренированных эритроцитов до величины  $<0,01$ , различий в межгрупповых ( $p > 0,05$ , см. табл. 2). Эритроцитов в обеих группах не изучаемые показатели. В I группе наблюдалось  $5,09\%$  ( $p < 0,01$ ), во II —  $1,39\%$  ( $p > 0,05$ ). У мало тренированных эритроцитов ( $0,46 \cdot 10^{12}/\text{л}$ ). Такие изменения из депо, оказались со стороны, что при данных условиях, что основное обусловлено в основе, причина сгущения крови тренированных гемолизированных из депо, что бл

33,0 $\pm$ 0,9. У больных с хронической коронарной недостаточностью — только 17,0 $\pm$ 1,2, исходное их количество в литре крови достоверно не отличалось от показателей у здоровых ( $p>0,05$ ), у больных хронической пневмонией общее число эритроцитов было увеличено по сравнению с контрольной группой ( $p<0,01$ ) процент гемолиза 16,0 $\pm$ 1,05, снижение статистически достоверное ( $p<0,001$ ). У больных бронхиальной астмой общее содержание эритроцитов в крови больше, чем у здоровых ( $p<0,001$ ), после пробы на резистентность гемолизируется 13,0 $\pm$ 1,1. Чем выше степень дыхательной недостаточности, тем выше механическая резистентность эритроцитов, что является признаком омоложения популяции эритроцитов.

**Таблица 1. Механическая резистентность эритроцитов у больных с гипоксическими состояниями**

Исследуемые показатели	Здоровые, 45–55 лет	Больные бронхиальной астмой	Больные хронической пневмонией	Больные хронической коронарной недостаточностью
Число наблюдений	60	25	25	25
Количество эритроцитов, $10^{12}/\text{л}$	4,2 $\pm$ 0,05 $p<0,0$	4,8 $\pm$ 0,12 $p<0,001^*$	4,5 $\pm$ 0,11 $p>0,01$	4,1 $\pm$ 0,14 $p>0,05$
Число гемолизированных эритроцитов	1,39 $\pm$ 0,04	0,62 $\pm$ 0,05	0,7 $\pm$ 0,05	0,7 $\pm$ 0,05
Процент гемолиза	33,0 $\pm$ 0,9 $p<0,001$	13,0 $\pm$ 1,1 $p<0,001$	16,0 $\pm$ 1,05 $p<0,001$	17,0 $\pm$ 1,21 $p<0,001$

\* — достоверность различий оценивали в сравнении со здоровыми

**Таблица 2. Механическая резистентность эритроцитов до и после однократной физической нагрузки у лиц с различной степенью тренированности**

Исследуемые показатели	Мало тренированные		Тренированные	
	до нагрузки	после нагрузки	до нагрузки	после нагрузки
Число наблюдений	25	25	25	25
Количество эритроцитов, $10^{12}/\text{л}$	4,1 $\pm$ 0,1 $p<0,001^*$	4,78 $\pm$ 0,14 $p<0,001$	4,48 $\pm$ 0,08 $p<0,001$	5,13 $\pm$ 0,13 $p<0,001$
Число гемолизированных эритроцитов	1,3 $\pm$ 0,07 $p<0,001$	1,76 $\pm$ 0,05 $p<0,001$	1,25 $\pm$ 0,06 $p<0,001$	1,49 $\pm$ 0,06 $p<0,01$
Процент гемолиза	31,7 $\pm$ 1,74 $p<0,05$	36,79 $\pm$ 1,07 $p>0,05$	29,92 $\pm$ 1,3 $p>0,05$	28,96 $\pm$ 1,12 $p>0,05$

\* — достоверность различий оценивали по сравнению с состоянием до велоэргометрии.

У мало тренированных и тренированных обследованных количество эритроцитов до велоэргометрии различалось на  $0,38 \cdot 10^{12}/\text{л}$  ( $p<0,01$ ), различий в механической резистентности не обнаружено ( $p>0,05$ , см. табл. 2). После физической нагрузки количество эритроцитов в обеих группах увеличилось ( $p<0,001$ ). В группе тренированных изучаемые показатели выше, чем у мало тренированных ( $p<0,01$ ), в I группе наблюдалось уменьшение механической резистентности на 5,09 % ( $p<0,01$ ), во II — 1,04 %, увеличение статистически недостоверное ( $p>0,05$ ). У мало тренированных обследованных обнаружено увеличение числа эритроцитов ( $0,68 \cdot 10^{12}/\text{л}$ ) и прирост гемолизированных ( $0,46 \cdot 10^{12}/\text{л}$ ). Таким образом, 67,7 % эритроцитов, выброшенных из депо, оказались со сниженной резистентностью. Можно полагать, что при данных условиях эксперимента увеличение числа эритроцитов обусловлено в основном выбросом их из депо. Плазмопотеря, как причина сгущения крови, не успевает достичь заметных величин. У тренированных гемолизировалось только 36,9 % эритроцитов, выброшенных из депо, что близко к показателям постоянно циркулирующих

клеток. Таким образом, можно допустить, что в депо у тренированных лиц находятся преимущественно молодые эритроциты, обладающие высокой резистентностью, в экстремальных условиях это позволяет системе красной крови при гипоксии реагировать более адекватно, так как молодые формы эритроцитов обладают наибольшей кислородтранспортной способностью [12]. У мало тренированных лиц перераспределительный эритроцитоз будет менее эффективен, количество эритроцитов увеличивается, но за счет неполноценных клеток, обладающих низкой резистентностью. Эритроциты, находясь в селезенке в состоянии стаза, приобретают сферическую форму, которая считается стадией, предшествующей их разрушению [17, 20]. Стаз способствует нарушению обменных процессов в клетке, что прежде всего проявляется в отношении неполноценных эритроцитов. Но если стаз длителен, то повреждающий эффект утрачивает свои избирательные свойства и распространяется и на неизмененные эритроциты [17]. Проходя через селезенку, эритроциты становятся более сферическими и менее резистентными [17]. Наблюдается также избирательная задержка сферизованных клеток при прохождении их через селезенку, меняет свои характеристики и гемоглобин депонированных эритроцитов [8]. Следовательно, хотя количество эритроцитов в циркулирующей крови и увеличивается при выбросе их из депо [3, 17], но за счет неполноценных клеток со сниженной резистентностью. Помимо выброса эритроцитов из депо, роль которых у человека выполняют селезенка, печень и сосудистое русло кожи, может отмечаться и кажущееся увеличение эритроцитов за счет плазмопотери [2], особенно при пролонгированном воздействии гипоксии. В итоге всех этих перераспределительных реакций развивается усиленный гемолиз, обусловленный, надо полагать, разрушением эритроцитов, вышедших из депо. И хотя это явление гемолиза отмечалось рядом авторов [5], механизм его возникновения ими не раскрывался.

При длительном воздействии гипоксии наблюдается активация эритропоэза, нарастание числа эритроцитов и гемоглобина прямо пропорционально степени гипоксии [3, 5, 26]. Усиление эритродиереза идет параллельно увеличению эритропоэза, период жизни эритроцитов значительно сокращается [12], что расценивалось как отрицательное явление, как следствие повышенных нагрузок на клетку в условиях активного функционирования сердечно-сосудистой системы. Анализируя эти данные, мы пришли к выводу, что сокращение времени циркуляции эритроцитов и их раннее разрушение, видимо, можно считать положительным явлением, так как это приводит к увеличению доли молодых эритроцитов в крови, т. е. к омоложению популяции. По мере старения эритроцитов уменьшается активность их ферментных систем и интенсивность метаболизма [22]. Снижение активности  $K^+$ - $Na^+$ -АТФазы и уменьшение катионной асимметрии ведет к избыточному поступлению воды в клетку и сферизации эритроцита. Объем сфеноцита, по сравнению с дискоцитом, по проведенным нами расчетам, может увеличиваться в 2,05 раза. Уменьшение удельной концентрации гемоглобина в клетке, изменение катионного состава ведет к уменьшению скорости поглощения кислорода таким эритроцитом [24]. По мере снижения активности гликопротеиновых процессов и уменьшения содержания 2,3-ДФГ увеличивается сродство гемоглобина к кислороду [19, 20, 29], что затрудняет его отдачу в тканях. По мере старения эритроцита падает активность метгемоглобинредуктазы и нарастает количество метгемоглобина в клетке [7]. Важное значение имеет изменение механических характеристик эритроцита, сопровождающее его дискофероформацию. Сфеноцит не может деформироваться без растяжения своей мембранны, которое практически равно нулю. Жесткость сфеноцитов значительно превышает жесткость дискоцитов, деформабельность становится минимально возможной [10]. Клетки с повышенной жесткостью теряют возможность проходить через капилляры, диаметр которых меньше их диаметра. Нами была построена математи-

ческая модель движения метр которого ( $D_{k\min}$ ) бния по нему эритроцита мация клетки в этом ка допущении, что площадь менения его объема оста деформации в капилляре ть идеальную форму

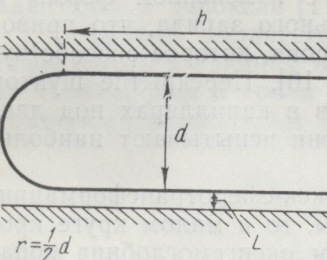


Рис. 1. Деформация эритроцита

Рис. 2. График зависимости  $m$  прохождения эритроцита объема

Площадь его будет равна  $\pi r^2$ . Площадь сферизованного эритроцита в капилляре,  $h$  — длина капилляра,  $L$  — длина сферизованного слоя плазмы при  $r = \frac{1}{2}d$ . Исключая  $h$  и учитывая, что  $L = \pi r^2 / V_E$ , получаем:  $V_E = \pi r^2 L / h$ . Воспользовавшись формулами Кардано, получим:

$$D_{k\min} = \frac{(i \cdot \sqrt{3} - 1) \cdot \pi r^2 L}{h} = \frac{(i \cdot \sqrt{3} + 1) \cdot \pi r^2 L}{h}$$

где  $i$  — мнимая единица, представлена на рис. 2 (1/27),  $L = 0,3$  мк. Из графика видно, что для большего диаметра клетки  $D_{k\min}$  тем больше, чем меньше нарушения целостности мембраны.

Таким образом, базис математического моделирования эритроцита, тем меньше у него будет отдача кислорода.

ческая модель движения эритроцита объемом  $V_E$  через капилляр, диаметр которого ( $D_{k\min}$ ) будет минимально возможным для прохождения по нему эритроцита данного объема без деструкции, т. е. деформация клетки в этом капилляре будет максимально возможной, при допущении, что площадь поверхности эритроцита ( $S_E$ ) в процессе изменения его объема остается неизменной [10, 17]. В результате такой деформации в капилляре круглого сечения эритроцит будет приобретать идеальную форму цилиндра с полусферами на концах (рис. 1).

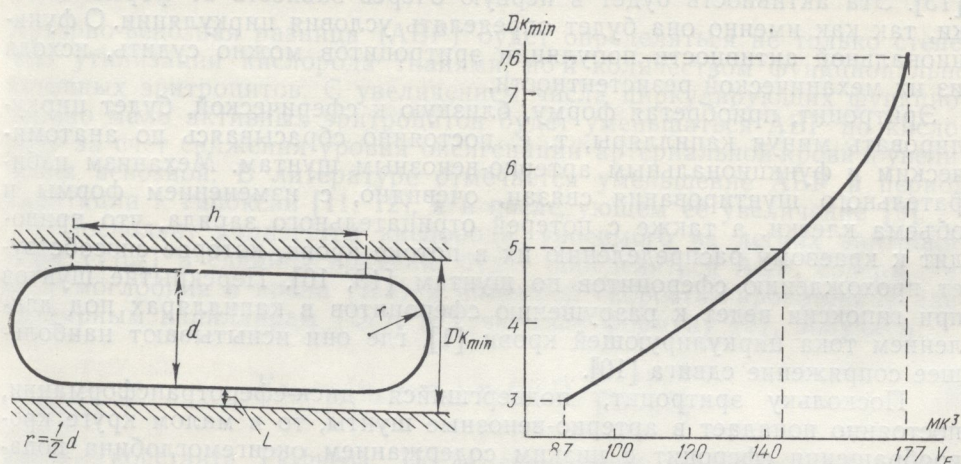


Рис. 1. Деформация эритроцита с объемом  $V_E$  в капилляре диаметром  $D_{k\min}$  (пояснения в тексте).

Рис. 2. График зависимости минимального диаметра капилляра, необходимого для прохождения эритроцита объемом  $V_E$  без деструкции при движении с отрицательным зазором.

Площадь его будет равна:  $S_E = \pi d \cdot (d + h)$ , где  $d$  — диаметр эритроцита в капилляре,  $h$  — длина цилиндрического сегмента;  $V_E = \pi d^2 \cdot \left( \frac{d}{6} + \frac{h}{4} \right)$ . Исключая  $h$  и учитывая, что  $d = D_{k\min} - 2 \cdot L$ , где  $L$  — толщина пристеночного слоя плазмы при движении эритроцита по капилляру с отрицательным зазором, получаем:  $V_E = (D_{k\min} - 2 \cdot L) \frac{3 \cdot S_E - \pi \cdot (D_{k\min} - 2 \cdot L)^2}{12}$ . Пользуясь формулами Кардано, находим, что:

$$D_{k\min} = \frac{(i \cdot \sqrt{3} - 1) \cdot \sqrt[3]{\sqrt{\frac{36 \cdot V_E^2 - \frac{S_E^3}{\pi}}{\pi}} - 6 \cdot V_E}{\pi} - (i \cdot \sqrt{3} + 1) \cdot \sqrt[3]{\frac{-\sqrt{36 \cdot V_E^2 - \frac{S_E^3}{\pi}} - 6 \cdot V_E}{\pi}}}{2} + 2 \cdot L,$$

где  $i$  — мнимая единица ( $i = \sqrt{-1}$ ). График зависимости  $D_{k\min}$  от  $V_E$  представлен на рис. 2 (исходный  $V_E = 87 \text{ мк}^3$ ,  $S_E = 152,6 \text{ мк}^2$ , по [17, 27],  $L = 0,3 \text{ мк}$ ). Из графика видно, что чем более сферичен эритроцит, тем большего диаметра капилляр необходим ему для прохождения без нарушения целостности мембрани.

Таким образом, базируясь на литературных данных и данных математического моделирования, можно сделать вывод, что чем старше эритроцит, тем меньше у него способность к связыванию, переносу и отдаче кислорода.

Из анализа всех этих данных мы сделали заключение о том, что информация о количестве эритроцитов и содержании гемоглобина в крови не позволяют в полной мере оценивать ее кислородтранспортные возможности. Необходимо знать, какая доля эритроцитов из общего их числа способна полностью реализовать свои возможности, имея для этого достаточные энергетические возможности и соответствующие механические характеристики. Возникает необходимость оценивать степень функциональной активности популяции эритроцитов [13]. Эта активность будет в первую очередь зависеть от формы клетки, так как именно она будет определять условия циркуляции. О функциональной активности популяции эритроцитов можно судить, исходя из их механической резистентности.

Эритроцит, приобретая форму, близкую к сферической, будет циркулировать минуя капилляры, т. е. постоянно сбрасываясь по артериальным и функциональным артерио-венозным шuntам. Механизм избирательного шунтирования связан, очевидно, с изменением формы и объема клетки, а также с потерей отрицательного заряда, что приводит к краевому распределению их в потоке крови, которое способствует прохождению сфероцитов по шuntам [15, 16]. Перекрытие шuntов при гипоксии ведет к разрушению сфероцитов в капиллярах под давлением тока циркулирующей крови [1], где они испытывают наибольшее сопряжение сдвига [10].

Поскольку эритроцит, подвергшийся дискофрансформации, постоянно попадает в артерио-венозные шuntы, то в малом круге кровообращения сфероцит с низким содержанием оксигемоглобина попадает, минуя альвеолярные капилляры, в артериализованную кровь, где происходит его насыщение кислородом через плазму за счет уменьшения количества оксигемоглобина в нормальных эритроцитах, прошедших через альвеолярные капилляры и насытившихся кислородом. В большом круге кровообращения сфероцит уже с высоким содержанием кислорода, минуя тканевые капилляры и сохраняя свой кислород, будет попадать из артериального русла в венозное, перенося туда кислород. В венозной крови будет происходить уравнение концентраций кислорода между сфероцитами и дискоцитами, но теперь кислород будут отдавать клетки, прошедшие по шuntам, т. е. в целом происходит артерио-венозная трансляция кислорода, названная нами кислородным шuntом.

Количество функционально активных эритроцитов ( $E_{ac}$ ) прямо пропорционально количеству резистентных к механической нагрузке, как следует из определения функциональной активности, данного выше, и будет равно:  $E_{ac} = E \cdot (1 - \mu \cdot k)$ , где  $E$  — общее количество эритроцитов,  $k$  — коэффициент гемолиза,  $\mu$  — постоянная, отражающая зависимость между уровнем гемолиза и функциональной активностью, так как механическая резистентность эритроцита прямо пропорционально зависит от его жесткости и геометрических параметров, определяющих функциональную активность эритроцита.

Величина шунтируемого потока кислорода будет тем больше, чем меньше количество функционально активных эритроцитов. Мы провели моделирование процесса массопереноса кислорода с учетом возможности его шунтирования, исходя из допущения, что как в большом, так и в малом круге кровообращения будет происходить трансплазматический обмен кислородом между эритроцитами, прошедшими по шuntам, и эритроцитами, прошедшими через капилляры. Коэффициенты, характеризующие степень насыщения гемоглобина кислородом в артериальной и венозной крови будут равны:

$$\eta_a = \eta_v \cdot \mu \cdot k + \eta_c \cdot (1 - \mu \cdot k) \quad (1)$$

$$\eta_v = \eta_a \cdot \mu \cdot k + \eta_k \cdot (1 - \mu \cdot k) \quad (2)$$

где  $\eta_c$  и  $\eta_k$  — коэффициенты насыщения гемоглобина кислородом в ко-

нечном отрезке альвеолярных уравнений, исключае-

$$\eta_a = \frac{\eta_k \cdot \mu \cdot k + \eta_c \cdot (1 - \mu \cdot k)}{1 + \mu \cdot k}$$

тогда

Артерио-венозная разница в утилизации кислородных эритроцитов. Сильно мало активных эритроцитов в результате снижения уровня венозной. В литературе адаптации к гипоксии [11]

Поскольку количество тами ( $V_{O_2c}$ ) в единицу времени гемоглобина в крови веолярным капиллярам

$$V_{O_2c} =$$

где  $\gamma$  — константа Гюбне кровью, прошедшем процесс уравнения содер- цитами и дискоцитами. В с  $\eta_v$  до  $\eta_a$ , а во вторых с лорода, получаемая шунтируемая равна:  $V_{O_2S} = \eta_{(a-v)}$  кровотока в большом круге

$$V_{O_2S} = (\eta_a -$$

В большом круге кровообращения с артериально-венозной разницей  $\Delta V_{O_2} = \eta_a - \eta_v$  составит:

$$S_{O_2} = (\eta_a -$$

где  $\frac{t_k}{t_s}$  — отношение времени прохождения сфероцитами в легких (6), будет шунтируемый

$$V_{O_2K} = (\eta_a - \eta_k)$$

Процент утилизации кислорода (5) и (3), имеем  $-U_{O_2}$  равного кислорода от по-

том, что  
лобина в  
транспорт-  
в из об-  
ожности,  
ответст-  
вость оце-  
троцитов  
мы клет-  
О функ-  
исходя

т цирку-  
анатоми-  
зм изби-  
формы и  
о приво-  
собствую-  
шунтов  
под дав-  
наиболь-

рмации,  
уге кро-  
на попа-  
ровь, где  
меньше-  
процед-  
городом.  
ержани-  
ислород,  
уда кис-  
нтраций  
ислород.  
происхо-  
кисло-

прямо-  
агрузке,  
ого вы-  
зо эрит-  
щая за-  
ностьюю,  
порцио-  
в, опре-  
ше, чем  
прове-  
ом воз-  
льшом,  
неплаз-  
по шун-  
циенты,  
в арте-

ом в ко-  
то

нечном отрезке альвеолярного и тканевого капилляров. Решая систему этих уравнений, исключаем  $\eta_v$  в (1) и  $\eta_a$  в (2):

$$\eta_a = \frac{\eta_k \cdot \mu \cdot k + \eta_c}{1 + \mu \cdot k} \quad (3), \quad \eta_v = \frac{\eta_c \cdot \mu \cdot k + \eta_k}{1 + \mu \cdot k} \quad (4),$$

тогда

$$\eta_{(a-v)} = (\eta_c - \eta_k) \frac{1 - \mu \cdot k}{1 + \mu \cdot k} \quad (5)$$

Артерио-венозная разница (АВР) будет определяться не только степенью утилизации кислорода тканями, но и количеством функционально активных эритроцитов. С увеличением числа циркулирующих функционально мало активных эритроцитов будет уменьшаться АВР по кислороду за счет снижения уровня оксигенации артериальной крови и увеличения венозной. В литературе отмечается уменьшение АВР в период адаптации к гипоксии [11, 12], а в последующем ее увеличение [9].

Поскольку количество кислорода, уносимого из легких эритроцитами ( $V_{O_2c}$ ) в единицу времени, будет определяться АВР, содержанием гемоглобина в крови ( $Hb$ ) и объемной скоростью кровотока по альвеолярным капиллярам ( $Q_c$ ), то, учитывая формулу (5), получаем:

$$V_{O_2c} = (\eta_c - \eta_k) \cdot \gamma \cdot Hb \cdot Q_c \frac{1 - \mu \cdot k}{1 + \mu \cdot k}, \quad (6)$$

где  $\gamma$  — константа Гюфнера. После смешивания шунтированной порции крови с кровью, прошедшей альвеолярные капилляры, будет происходить процесс уравнивания содержания кислорода между сферизованными эритроцитами и дискоцитами. В первых содержание оксигемоглобина возрастает с  $\eta_v$  до  $\eta_a$ , а во вторых снижается с  $\eta_c$  до  $\eta_a$ . Таким образом, доля кислорода, получаемая шунтированными эритроцитами ( $V_{O_2s}$ ) от дискоцитов будет равна:  $V_{O_2s} = \eta_{(a-v)} \cdot \gamma \cdot Hb \cdot Q \cdot \mu \cdot k$  (7), где  $Q$  — объемная скорость кровотока в большом круге. Подставляем в (7) выражения (3) и (4):

$$V_{O_2s} = (\eta_c - \eta_k) \frac{\mu \cdot k \cdot (1 - \mu \cdot k)}{1 + \mu \cdot k} \cdot \gamma \cdot Hb \cdot Q. \quad (8)$$

В большом круге кровообращения кислород будет шунтироваться сфероцитами из артериального русла в венозное, величина этого потока в  $\text{мл} \cdot \text{мин}^{-1}$  составит:

$$S_{O_2} = (\eta_c - \eta_k) \frac{t_k \cdot (1 - \mu \cdot k)}{t_s \cdot (1 + \mu \cdot k)} \cdot \gamma \cdot Hb \cdot Q \cdot \mu \cdot k, \quad (9)$$

где  $\frac{t_k}{t_s}$  — отношение времени происхождения дискоита по капилляру к времени прохождения сфероцита по шунту. Из кислорода, полученного в легких (6), будет шунтироваться (9) и ткани будут получать:

$$V_{O_2k} = (\eta_c - \eta_k) \frac{(t_s \cdot Q_c - t_k \cdot Q \cdot \mu \cdot k) \cdot (1 - \mu \cdot k)}{t_s \cdot (1 + \mu \cdot k)} \cdot \gamma \cdot Hb. \quad (10)$$

Процент утилизации кислорода тканями равен:  $U_{O_2} = \frac{\Delta \eta_{(a-v)}}{\eta_a}$  [6], учитывая (5) и (3), имеем  $-U_{O_2} = \left(1 - \frac{\eta_k + \eta_c \cdot \mu \cdot k}{\eta_c + \eta_k \cdot \mu \cdot k}\right) \cdot 100\%$ . Процент шунтированного кислорода от полученного в легких составит:

$$\lambda = \mu \cdot k \cdot \frac{t_k \cdot Q}{t_s \cdot Q_c} \cdot 100\%.$$

Система из уравнений (6), (8), (9), (10) и будет являться математической моделью массопереноса кислорода с учетом возможности его шунтирования функционально мало активными эритроцитами.

Увеличение функциональной активности популяции эритроцитов позволяет нормализовать показатели транспорта кислорода и без общего увеличения числа эритроцитов. Содержание неактивных форм эритроцитов при перераспределительном эритроцитозе увеличивается, а затем резко падает ввиду их массового разрушения, и хотя количество эритроцитов уменьшается, реальный массоперенос кислорода увеличивается в  $(1 + \mu \cdot k)$  раз.

Наряду с перераспределительным и истинным эритроцитозом возрастание функциональной активности популяции эритроцитов можно рассматривать как один из путей компенсации различных гипоксических состояний со стороны системы красной крови.

## Выводы

1. Механическая резистентность эритроцитов у больных с гипоксическими состояниями различного происхождения значительно повышена, по сравнению со здоровыми.
  2. Механическая резистентность эритроцитов после однократной физической нагрузки у физически мало тренированных лиц уменьшается в большей степени, чем у тренированных, что можно рассматривать как признак различного функционального состояния эритроцитов в депо у лиц с различной степенью тренированности.
  3. Экспериментальные и модельные исследования позволяют рассматривать омоложение популяции эритроцитов при гипоксии как процесс, ведущий к улучшению показателей массопереноса кислорода за счет уменьшения роли кислородного шунта.

A. A. Nenashev, I. M. Tishchenko, Z. A. Shidov

# A. A. NUGAHOFF, MECHANICAL RESISTANCE OF ERYTHROCYTES AND OXYGEN MASS TRANSFER UNDER HYPOXIC STATES OF DIFFERENT GENESIS

The functional activity of erythrocytes was examined in the patients suffering from bronchial asthma, chronic pneumonia and chronic coronary insufficiency.

An increase in the functional activity of erythrocytes is one of the ways to compensate the hypoxic state.

Healthy patients with different degrees of physical training were also examined before and after physical exercises.

Such aspects as aging of erythrocytes, functional decrease of their activity and their ability to oxygen transport are considered. A mathematical model of erythrocyte motion through capillaries of different diameters during aging is presented.

A new idea is introduced: the oxygen shunt of the artery-venous oxygen transfer performed by not very active erythrocytes. The necessary formula for calculation of the oxygen shunt is given.

Kabardino-Balkarian University

## *Список литературы*

1. Аграненко В. А. Консервирование крови.— В кн.: Справочник по переливанию крови и кровезаменителей. М. : Медицина, 1982, с. 42—48.
  2. Аулик А. В. Определение физической работоспособности в клинике и спорте.— М. : Медицина, 1979.—195 с.
  3. Барбашова З. И. Акклиматизация и гипоксия и ее физиологические механизмы.— М. : Изд-во АН СССР, 1960.—215 с.
  4. Бобоходжаев З. М. К вопросу гемопоэза в условиях высокогорья.— В кн.: Физиологические и клинические проблемы адаптации к гипоксии, гиподинамии и гипертермии. М., 1981, т. 2, с. 27—28.
  5. Ван Лир Э., Стикней К. Гипоксия.— М. : Медицина, 1967.—368 с.
  6. Георгиевская Л. М. Регуляция газообмена при хронической сердечной и вентиляционной недостаточности (транспорт газов кровью).— Л. : Медгиз, 1960.—224 с.

Физиол. журн., 1985, т. 31, № 6

7. Гительсон И. И., Гомзякова тов.—В кн.: Вопросы биофизики. 1967, с. 132—134.
  8. Иржак Л. И. Эритроциты живой организма.—В кн.: Доктор наук Сыктывкар, 1981, с. 8—10.
  9. Казначеев В. П. Современник. 202 с.
  10. Каро К., Педли Т., Шроте. 1981.—625 с.
  11. Лауэр Н. В., Колчинская А. Родный режим организма и...
  12. Мешалкин Е. Н., Власов Ю. А. Новосибирск, 1981.
  13. Ненашев А. А. Участие систем гипертермии в клинических состояниях. М., 1981, т. 2, № 1.
  14. Ненашев А. А. Способ исключения из гипертермии. А. с. 1012887 (СССР).—Опубл. в Бюл. изобретений СССР, № 10, 1981.
  15. Чернух А. М., Александровича, 1984.—426 с.
  16. Чижевский А. Л. Структурные аспекты гипертермии. 1959.—484 с.
  17. Щерба М. М. Физиология. Наука, 1968, с. 52—92.
  18. Янушевская Э. Б. Состояния, возникающие при адаптации к изменениям температуры тела. Сб. научных трудов института физиологии АН СССР, № 13, 1981, с. 133—134.
  19. Arturson G. Changes in blood vessels during hypoxia and pulmonary insufficiency. J. Physiol. 1962, 159, p. 101.
  20. Bessis M., Brecher L. A series of papers on the properties of blood cells. 1975, 1, N 3, p. 15.
  21. Bessis M., Mohandas N. Red cells. Ibid., N 1, p. 31.
  22. Bentler E. Hemolytic anemia. Plenum med. book cop., 1975.
  23. Feo C., Phillips W. M. The influence of cell deformability on oxygen uptake. J. Physiol. 1971, 215, p. 101.
  24. Foster R. Respiration. Amer. J. Physiol. Vol. 1971, 220, p. 101.
  25. Garby G. The balance of oxygen in the blood. 1971, supl. 45, p. 14—16.
  26. Nathon D. C. Regulation of blood flow. 1971, 220, p. 685—687.
  27. Ponder E. Red cell cytoskeleton. 1971, 220, p. 557.
  28. Scott E. M. Congenital anomalies. In: Hereditary disorders of hematology. 1971, 220, p. 101.
  29. Sullivan S. F. Oxygen transport by hemoglobin. 1971, 220, p. 101.

УДК 612.33+612.386

## РЕГУЛЯРНЫЙ ТРАНСПОРТ ОПОСРЕДСТВОМ

Кальций участвует в выполняя роль вторичного воздействия на биологических ферментов и в новых процессах [14, 15]. Поддерживается на уровне, чем для других ионов.

Физиол. журн., 1985, т. 31,